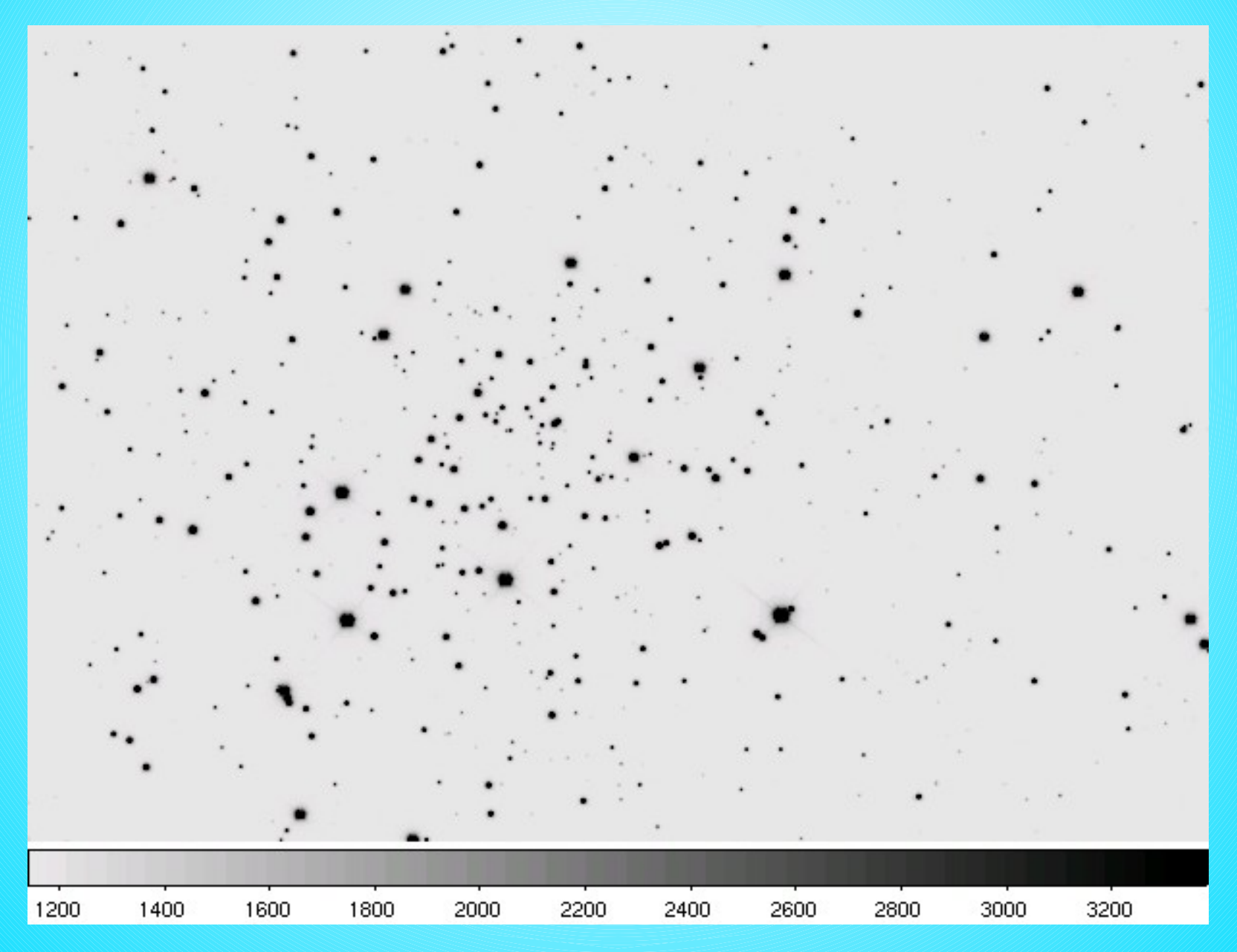
# Fotometria dell'ammasso aperto NGC 2420



## Francesco Bussola, Marco Faccioli, Giovanni Frezzato, Giulio Romanelli



#### LSS G.Galilei, ISIS Calabrese-Levi, LSS E.Medi

Verona

## Lo scopo del lavoro

Determinazione fotometrica di:

Età
Distanza
Metallicità
Raggi stellari

## Cos'è un ammasso aperto

Un ammasso aperto è un raggruppamento di stelle (circa 700 nel caso di NGC 2420), che giace in genere sul piano galattico, tutte circa della stessa età e di popolazione I, senza un ben definito centro apparente.

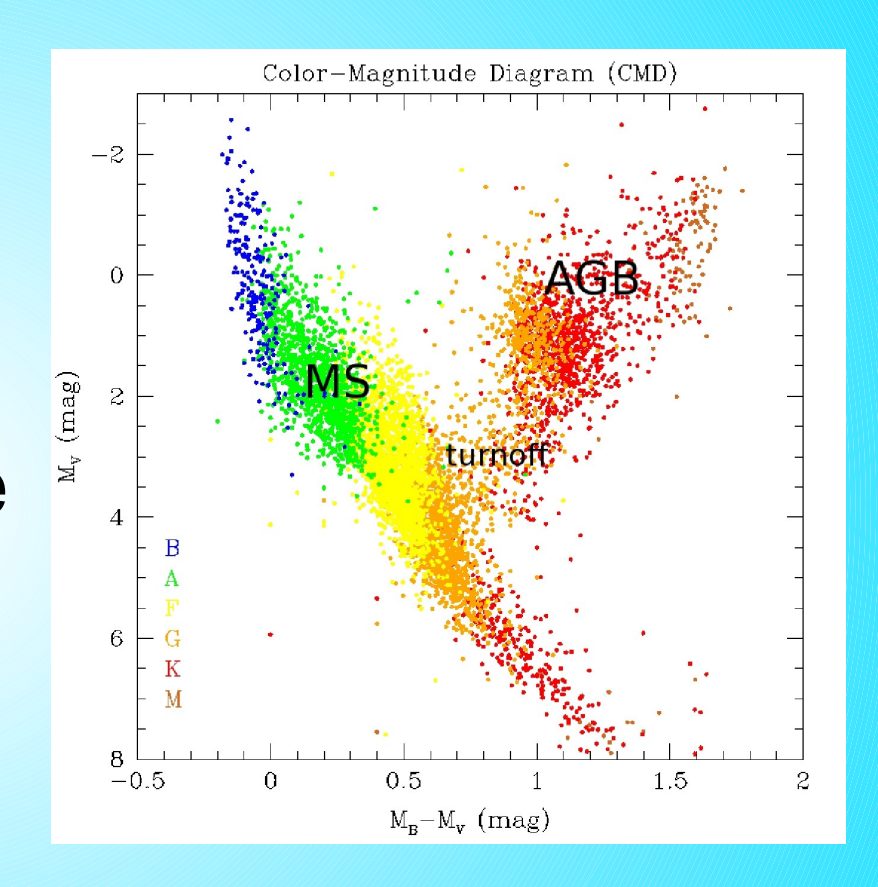
Poiché il

diametro dell'ammasso è molto piccolo rispetto alla sua distanza da Terra, possiamo assumere che le stelle si trovino tutte alla stessa distanza.

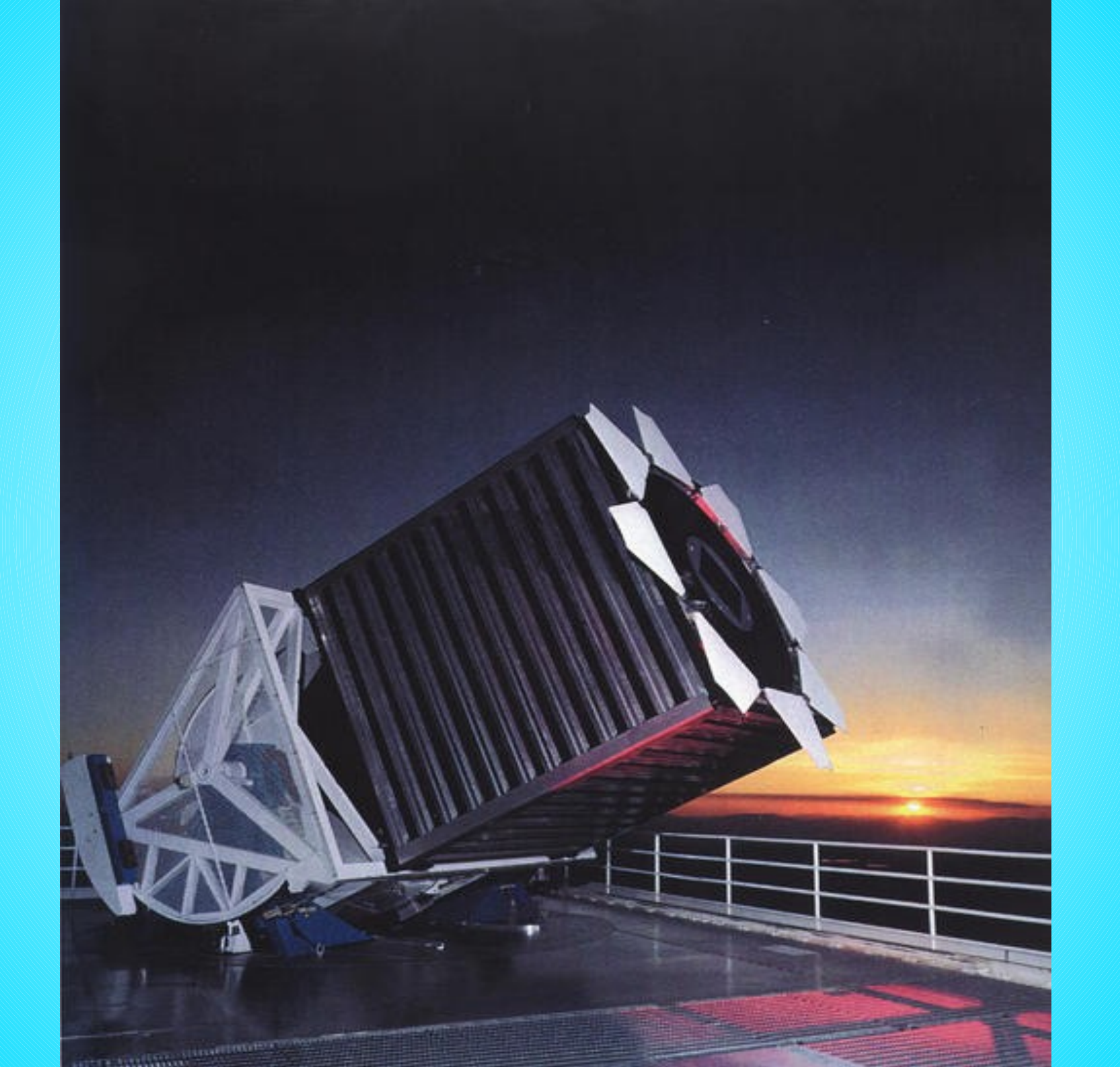
#### II CMD

E' un diagramma del tipo H-R con:

sull'asse x l'indice di colore.
 Più esso tende al blu (è piccolo) più le stelle son calde
 sull'asse y una magnitudine scelta



Età e distanza possono essere ricavate utilizzando un diagramma colore-magnitudine (nel nostro caso B-V vs V e V-R vs R).



#### Dati osservativi

I dati sono stati ricavati dall'archivio del telescopio SDSS (Sloan Digital Sky Survey) da 2.5 metri, situato ad Apache Point, New Mexico.

Il tempo di posa e'di circa 53.9 secondi.

Le coordinate di NGC 2420 sono:  $\alpha$ = 07h.35m.5s  $\delta$  =+21°41' (è nei Gemelli)

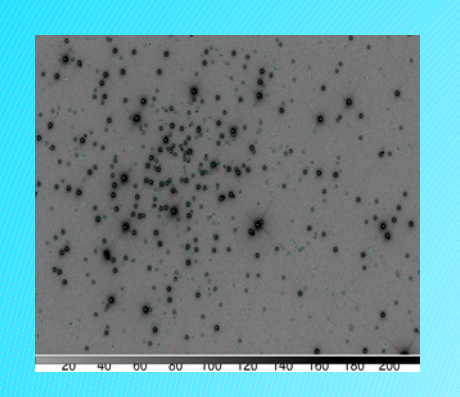
Sono state utilizzate tre immagini, prese coi filtri g, r, i

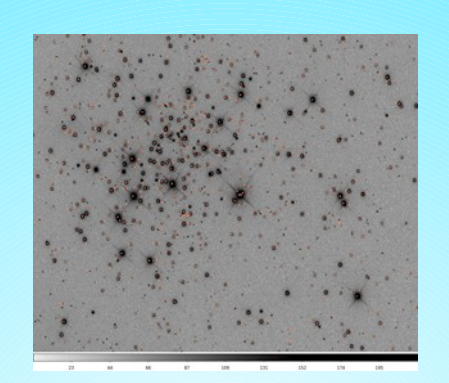
La tabella in basso mostra la massa d'aria e i coefficenti di assorbimento atmosferico (K), il coefficente di calibrazione delle magnitudini (M\_0) relativi a ciascuna immagine.

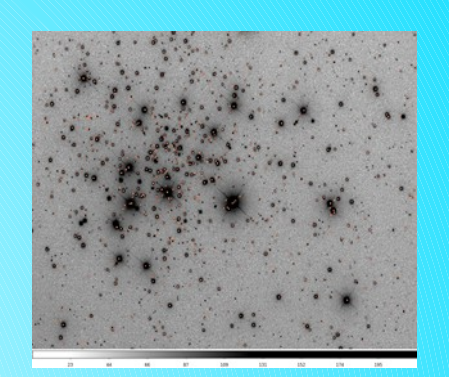
Filtro	Massa d'aria	K	M_0
g	1.07	0.14	24.447
r	1.06	0.09	24.071
j	1.06	0.03	23.741

### Descrizione del Lavoro

#### 1. Allineamento







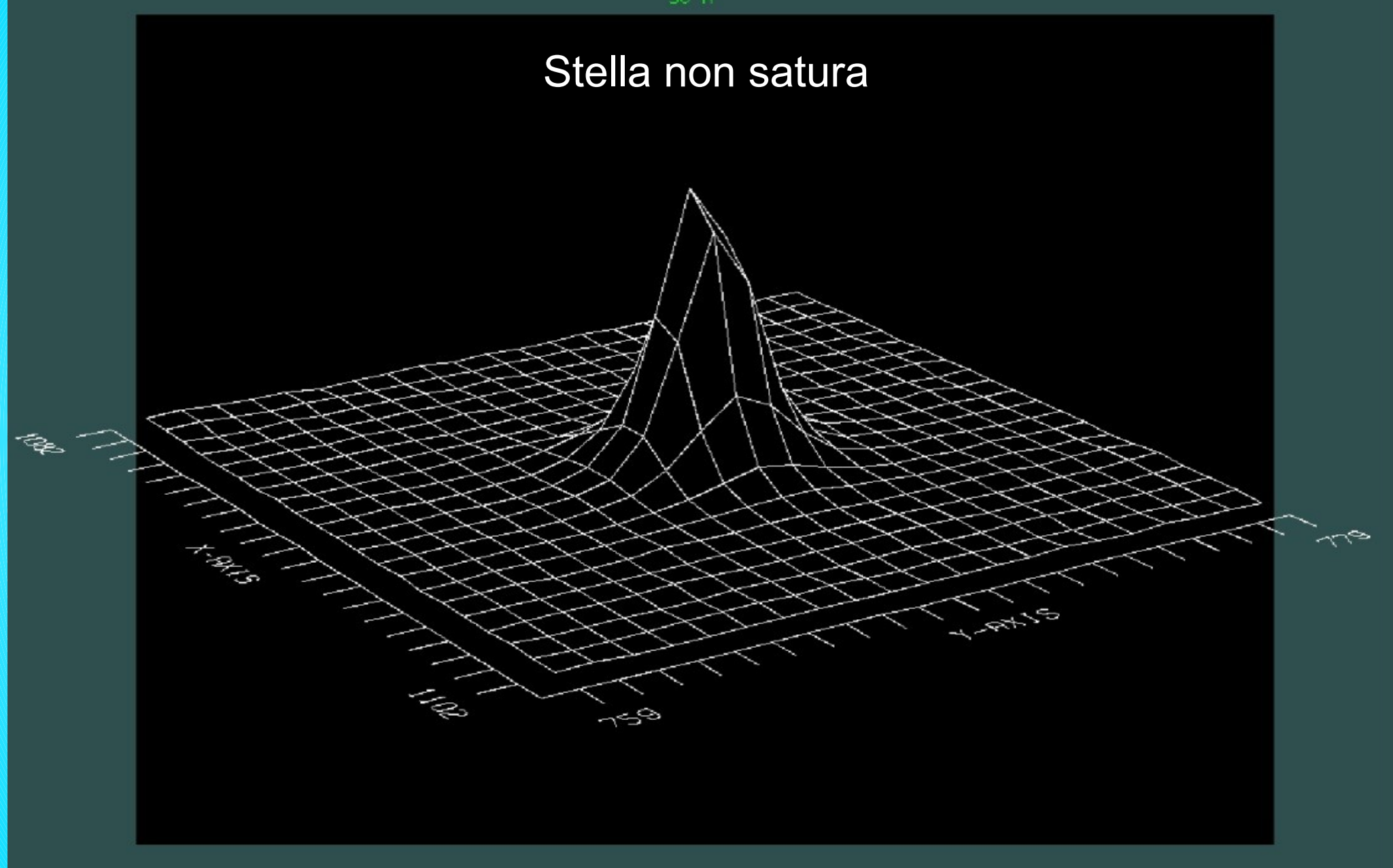
 Utilizzando il visualizzatore ds9, abbiamo selezionato un campione di 5 stelle, le stesse in ogni foto, che ci hanno permesso di allineare le immagini.

Filtro	Δx (pixels)	Δy (pixels)
g	-1.45	-11.29
r	0.00	0.00
i	1.04	-2.85

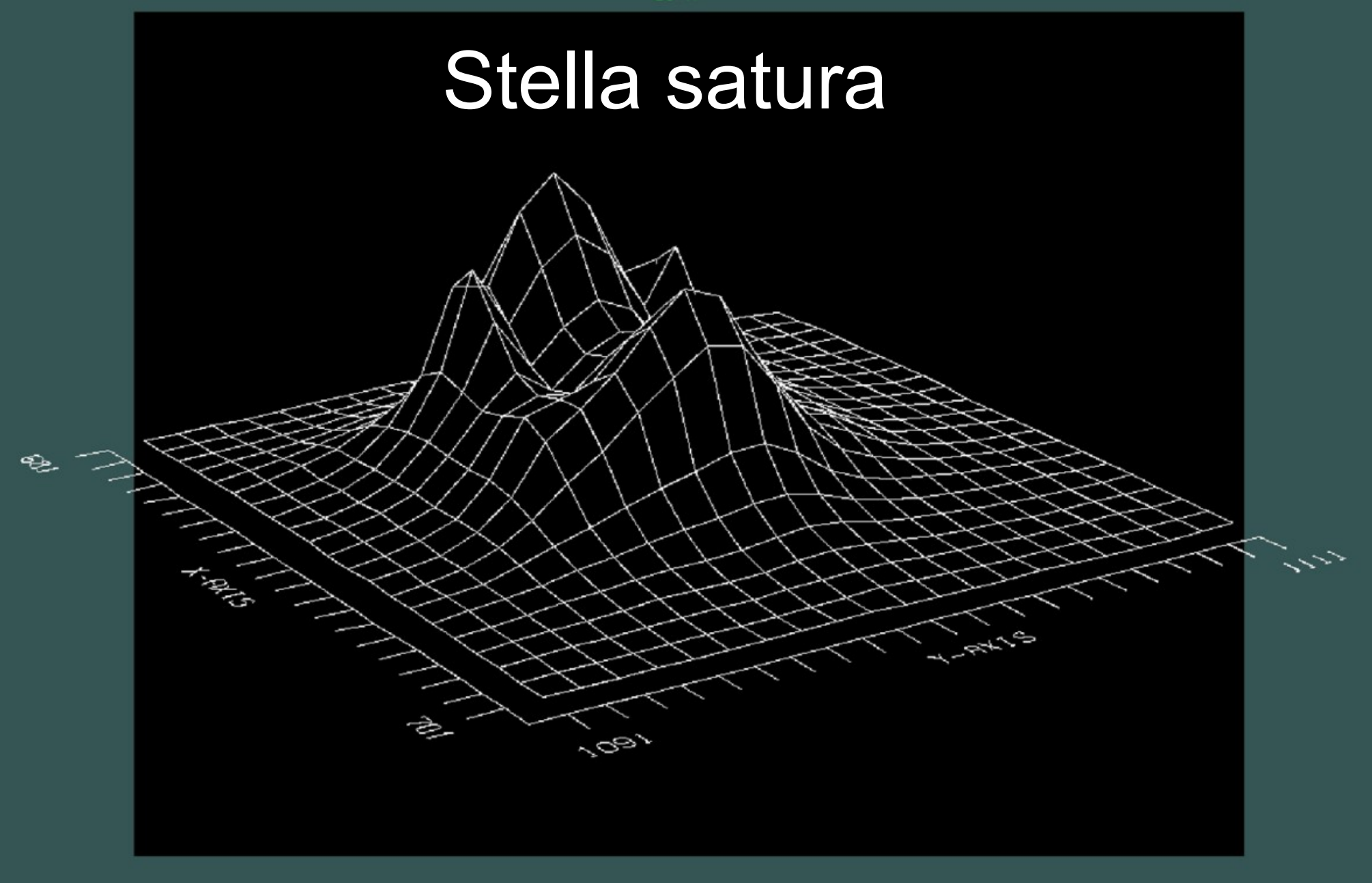
#### 2. Selezione delle stelle

- Manualmente, per ogni immagine, sono state selezionate 15 stelle non sature
- Si sono calcolati, per ogni immagine, i valori medi della FWHM, dell'intensità luminosa minima del cielo, della relativa dispersione σ

Filtro	FWHM	Sky Counts (photons/pixel)	σ
g	3.33	1091.2	2.76
r	2.67	1150.6	5.76
i	2.38	1300.0	5.58



30 N



## 3. Ricerca delle sorgenti

L'utilizzo del task DAOFIND di IRAF ci ha consentito di identificare le stelle di NGC 2420, ricercando le sorgenti che avessero:

- Una FWHM compatibile con quella media
- Un emissione minima data da:

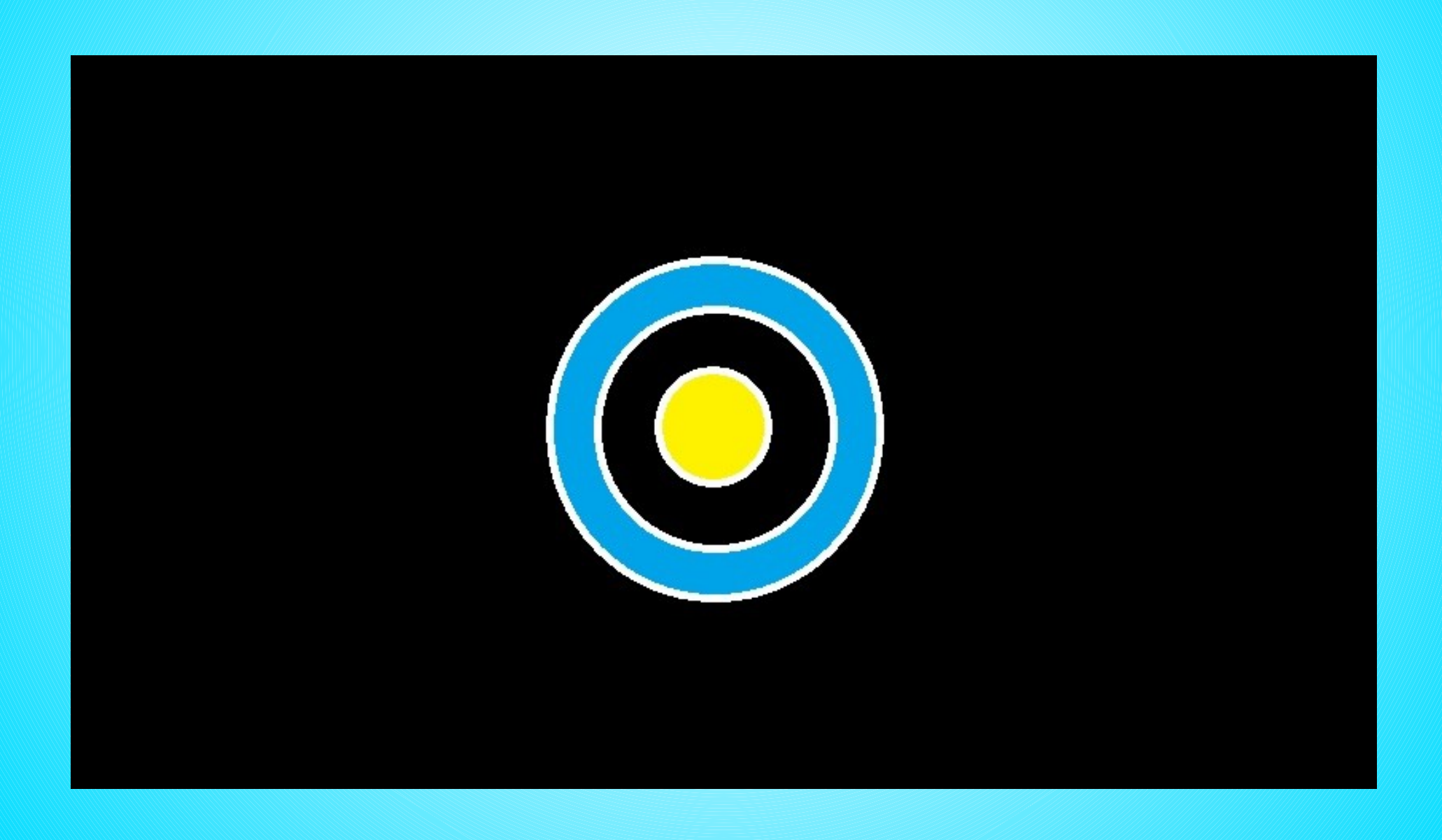
$$I_{min} = I_{sky} + (Threshold * n * \sigma)$$

con Threshold=25 e n=6

## 4. Catalogazione delle stelle

- Quindi, per ciascuna immagine, sono state registrate le posizioni delle sorgenti combatibili e l'intensità registrata.
- Si è proceduto a una verifica visiva in ds9,
   marcando le sorgenti compatibili col task тумак
- Si sono quindi corretti i parametri Threshold e n
- Con TOPCAT abbiamo incrociato le sorgenti di ogni immagine e abbiamo identificato 738 stelle coincidenti (entro 5 px)

## La Fotometria d'apertura



#### 5. Analisi dei dati

 Abbiamo quindi calcolato col task рнот le magnitudini strumentali, partendo dall'emissione di ogni sorgente:

$$M_{instr} = 25 - 2.5 * (I_{star} - N_{px} * I_{sky}) / T_{exp}$$

 Siamo poi passati alle magnitudini calibrate *g<sub>cal</sub>, r<sub>cal</sub>, i<sub>cal</sub>*:

$$g_{cal} = g_0 + g - 25 - k_g * airmass_g$$
 $r_{cal} = r_0 + r - 25 - k_r * airmass_r$ 
 $i_{cal} = i_0 + i - 25 - k_i * airmass_i$ 

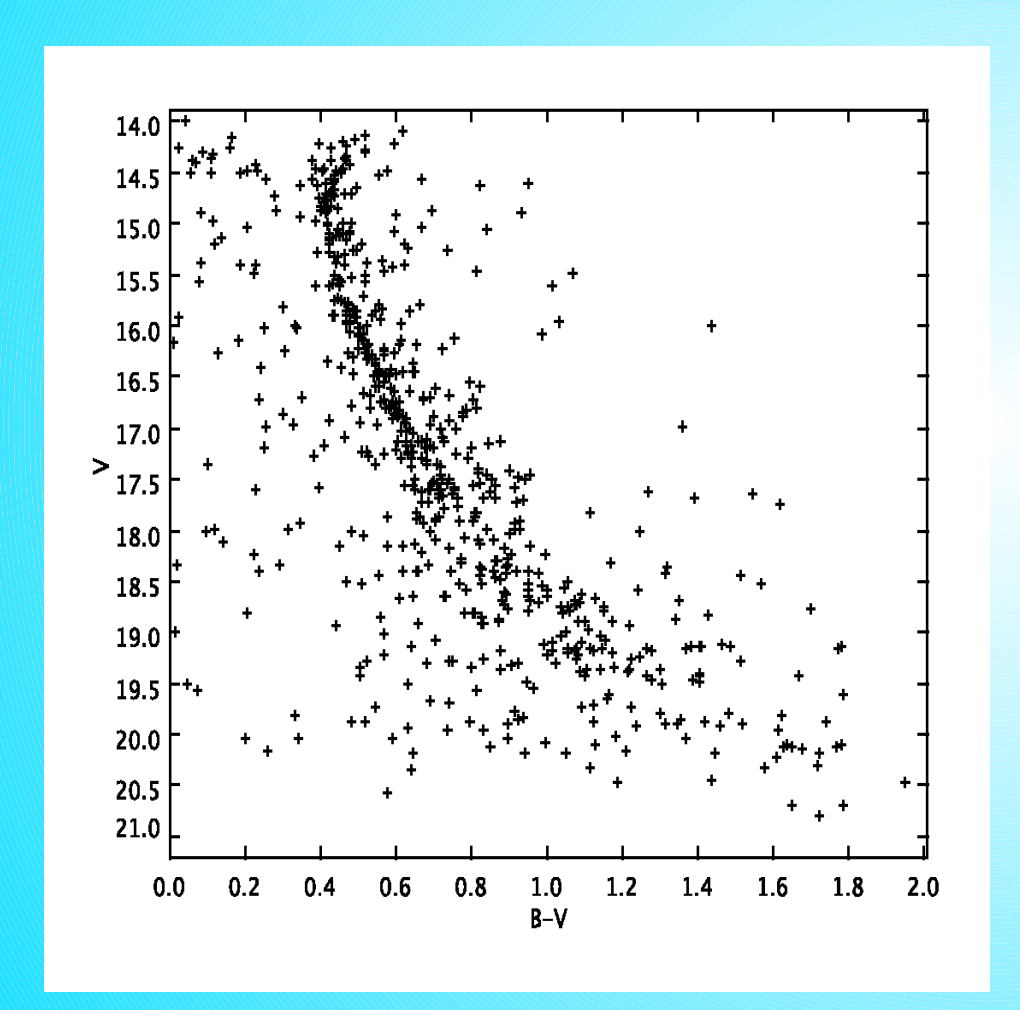
Finalmente, siamo potuti passare alle magnitudini B, V, R del sistema fotometrico di Johnson, che è lo standard in astronomia:

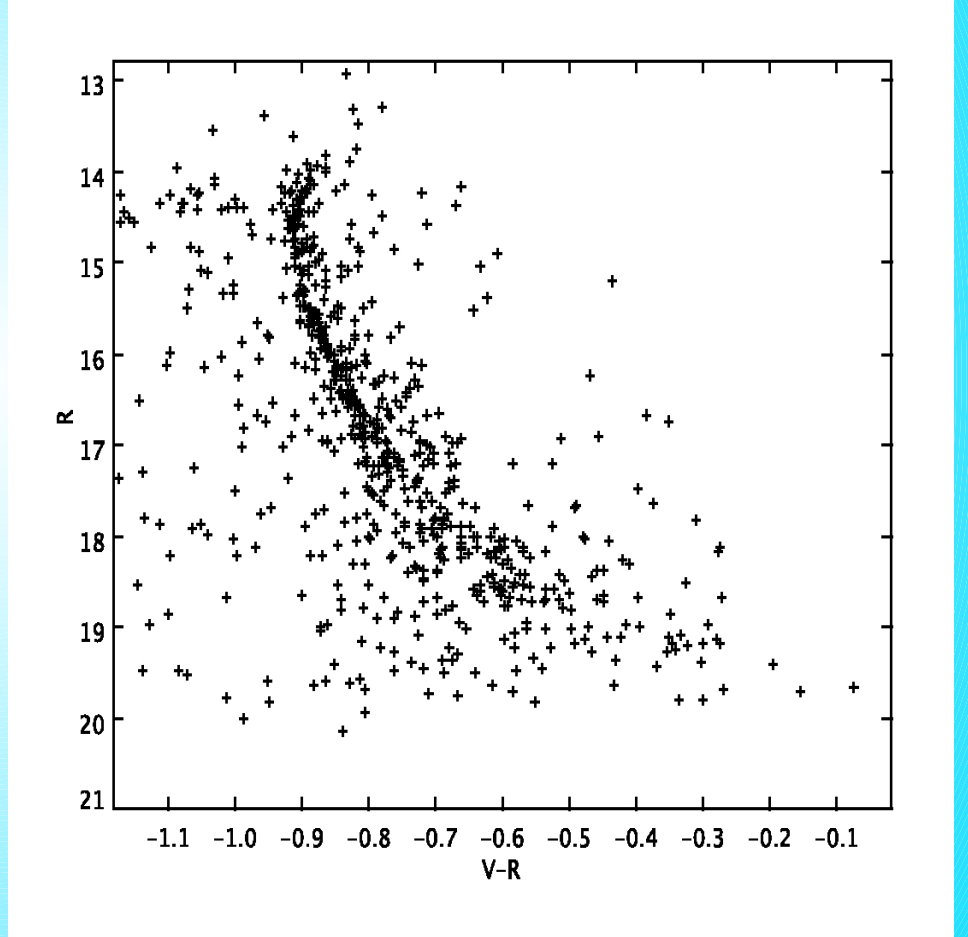
$$B = g_{cal} + 0.349 * (g_{cal} - r_{cal}) + 0.245$$

$$V = g_{cal} - 0.569 * (g_{cal} - r_{cal}) + 0.021$$

$$R = r_{cal} + 0.153 * (r_{cal} - i_{cal}) - 0.117$$

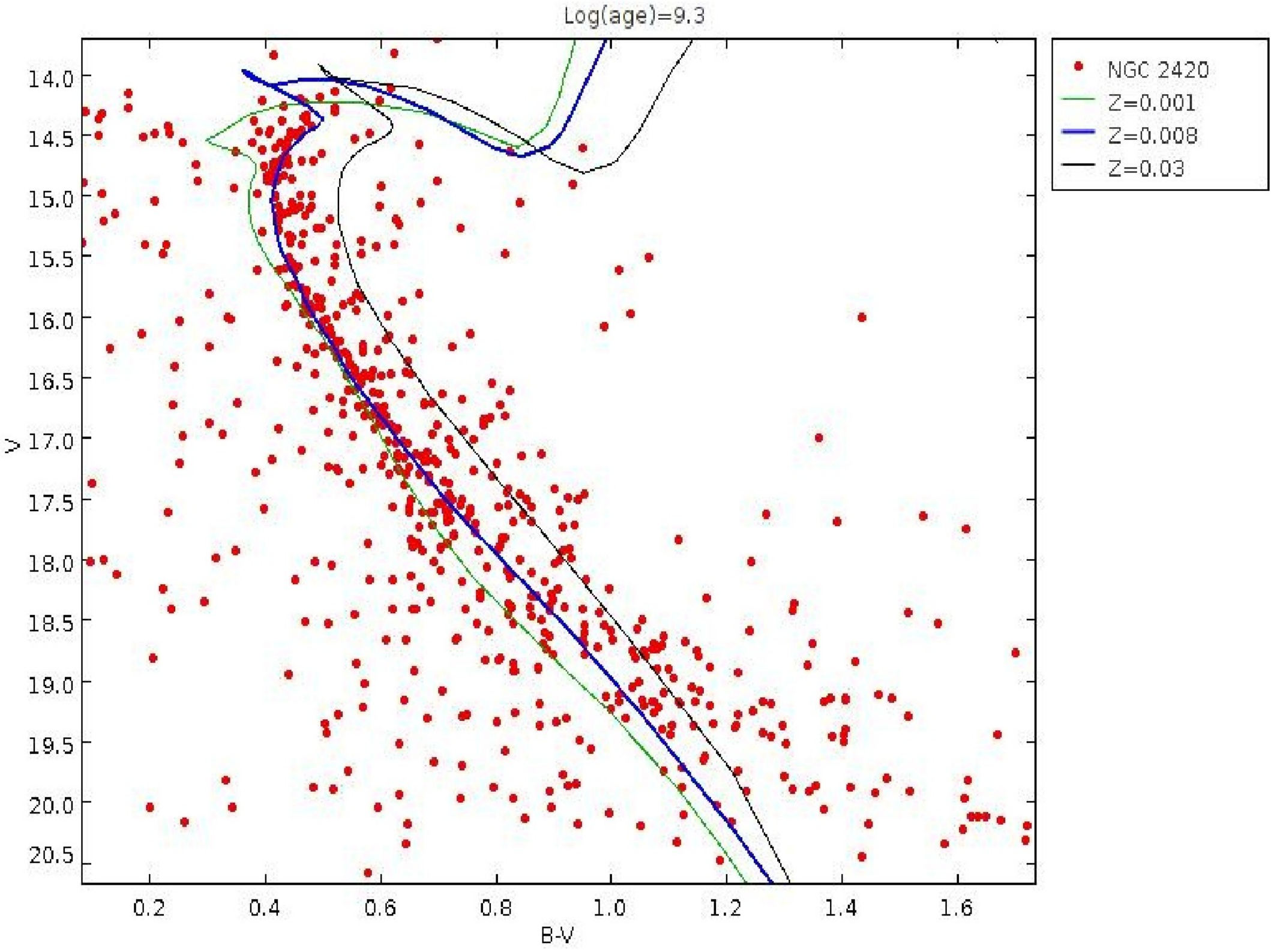
## I CMDs

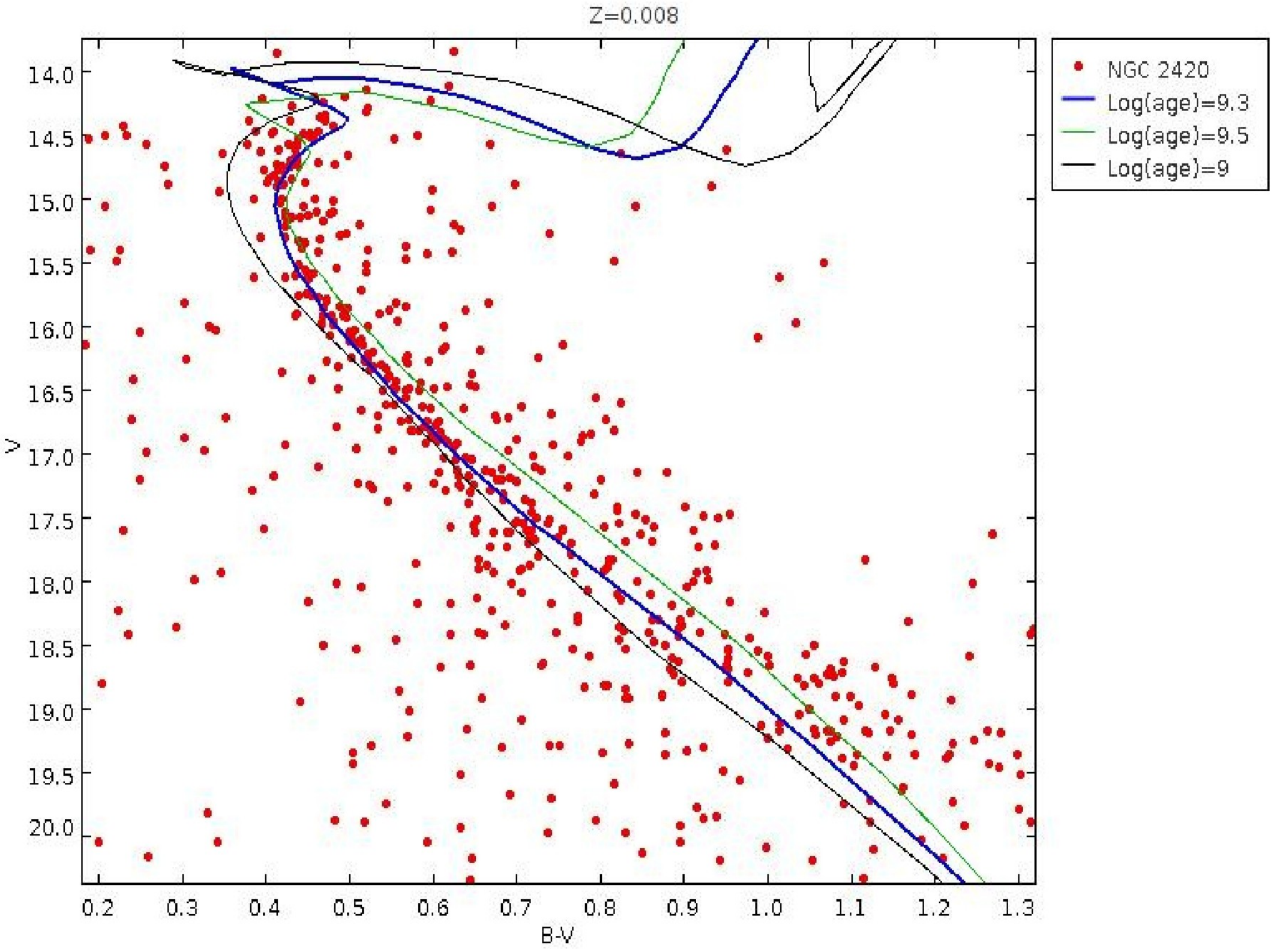


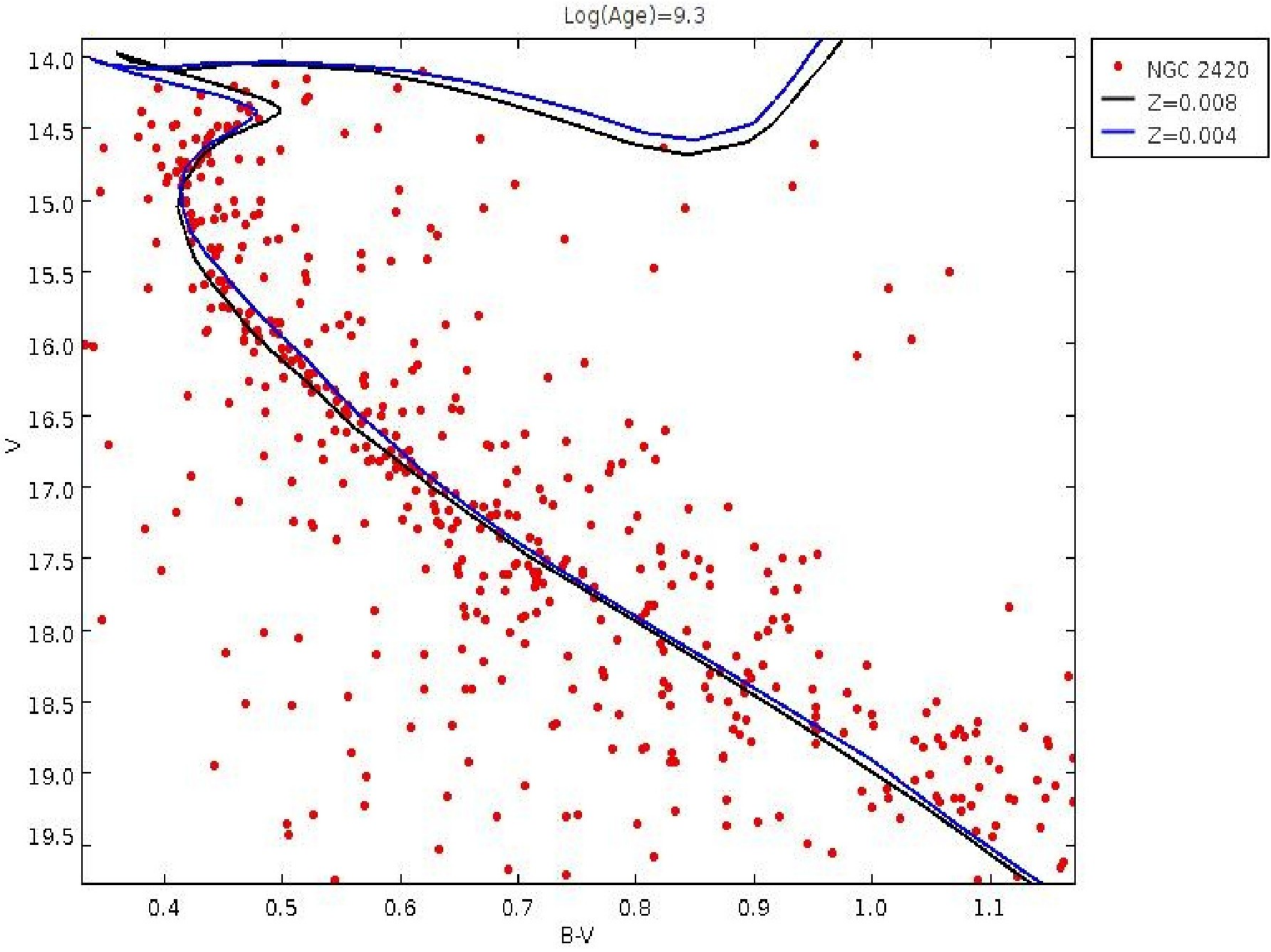


#### Isocrone

- Sono delle curve, in magnitudini assolute e prive di arrossamento, ottenute da modelli teorici. Esse descrivono le posizioni delle stelle di un ammasso in funzione della loro massa iniziale, della loro metallicità ed età
- Plottate sul CMD, ci permettono di determinare quindi età e metallicità dell'ammasso
- Inoltre permettono di ricavare la distanza dell'ammasso e l'assorbimento interstellare







#### Assorbimento Interstellare

$$A_v = 3.1 * E_{(B-V)}$$

Dove E è l'eccesso di colore ( $\Delta x$ )

#### Distanza

Essendo NGC 2420 in magnitudini apparenti e le isocrone in magnitudini assolute, la differenza tra queste (Δy) sarà chiaramente un Modulo di Distanza (DM)

$$d = 10^{((DM + 5 - A_v)/5)}$$

## Primi risultati

Z	DM	Età (Gyr)	E(B-V)
0.004	12.35	2	0.16
0.008	12.28	2	0.07

## I raggi

Non disponendo di dati relativi alle temperature delle stelle abbiamo ricavato i raggi lineari partendo dai raggi angolari delle stelle.

Definita la brillantezza superficiale

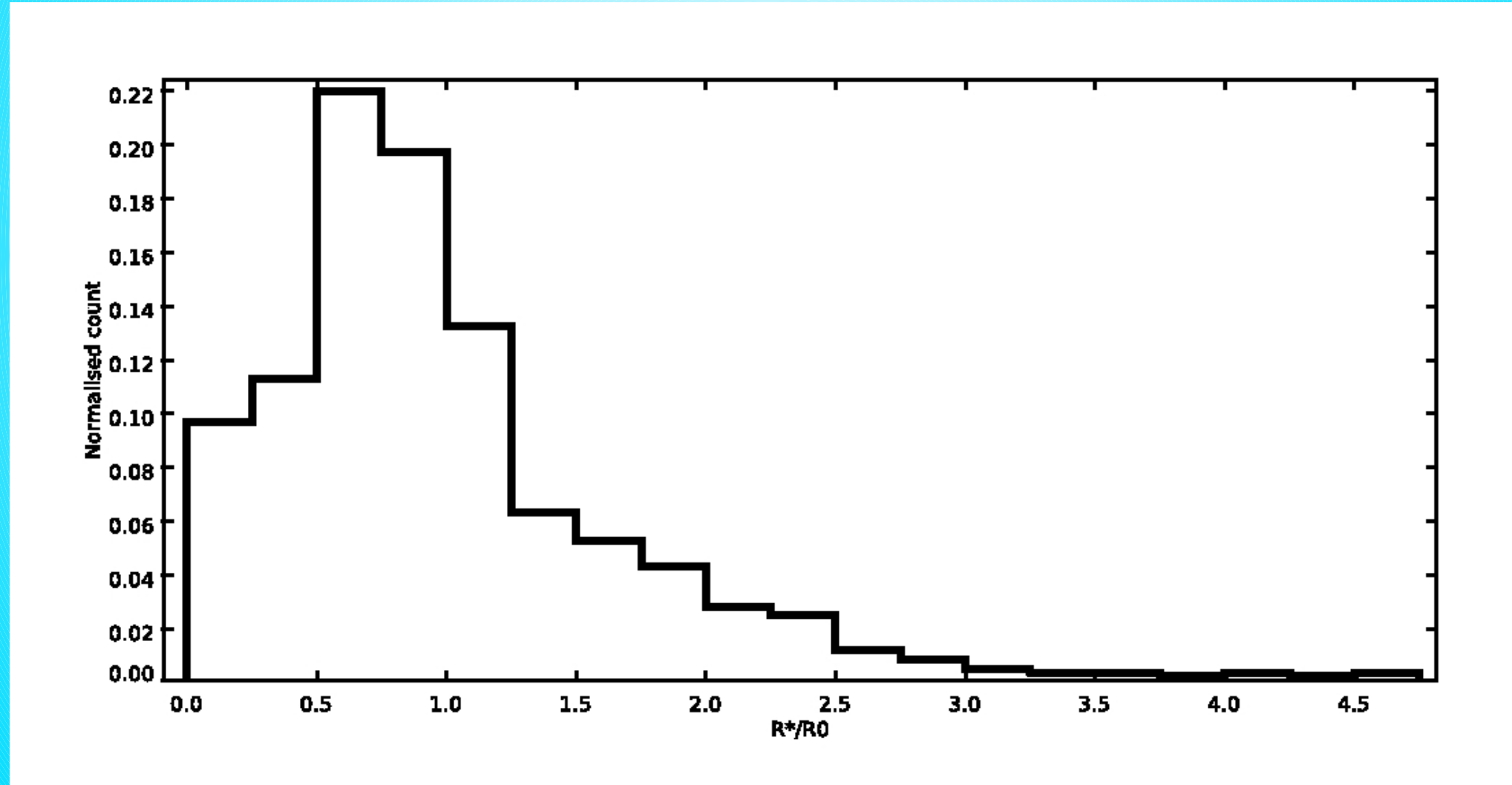
$$P = mag * arcsen^{2}(\theta)$$

i raggi angolari sono stai così ricavati:

$$\theta_{star} = \theta_{sun} * 10^{(-2*(P_v + 0.1*(m - m_{sun})))}$$

## I raggi lineari sono invece ricavati dalla formula:

$$R_{star} = R_{sun} * ((\theta_{star}/206265) * (d/(6.96 * 10^5)))$$

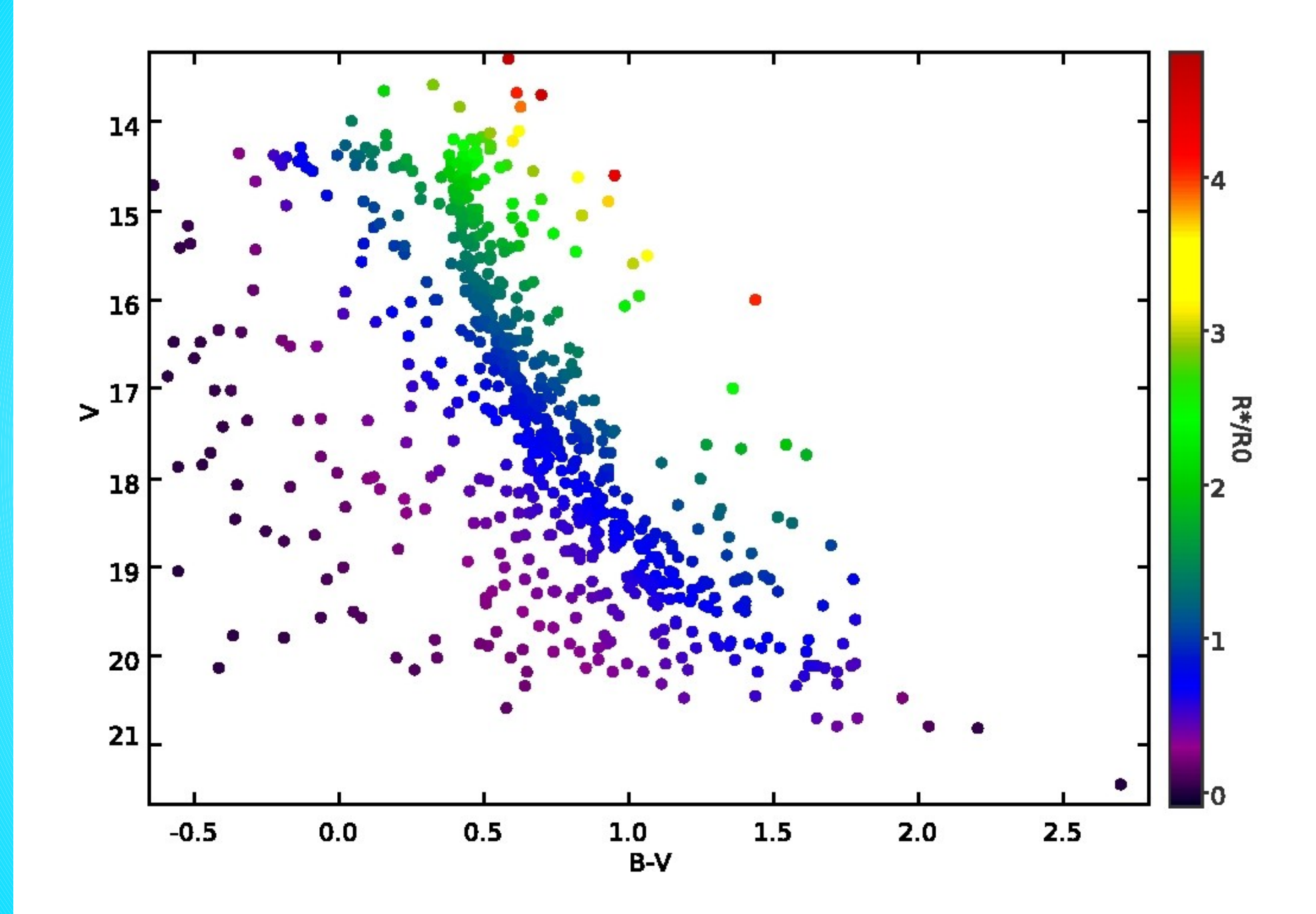


## Il punto di Turnoff

E' il punto in cui si trovano le stelle che stanno iniziando a bruciare He.

Esse si espanderanno a temperatura costante, diventando quindi Red Giants e aumentando la loro luminosità.

È importante fare un fit corretto nel punto di turnoff. Al turnoff, abbiamo ottenuto un raggio di circa 3 raggi solari, in perfetto accordo con la teoria.



### Risultati

Ricerca	E(B-V)	DM	Età	Z
Questo Iavoro	0.16	12.35	2	0.004
Questo Iavoro	0.07	12.28	2	0.008
Demarque et al. (1994)	0.05	11.95	2.4	0.006
Prada Moroni et al.(2001)	80.0	12.05	2	0.005
Anthony- Twarog et al. (2006) - 1	0.05	12.15	1.9	0.005
Anthony- Twarog et al. (2006) - 2	0.05	12.15	1.9	0.006

d=2475.5 pc

A(v)=0.035

## Bibliografia

- 1) Anthony-Twarog, B. J., Delora, T., Cracraft, M., & Twarog, B.A. 2006, AJ,131,461-472
  - 2) Ciroi, S., Cracco, V., Frassati, A., 2011, Fotometria, the Sky as a Laboratory, handouts, 101
    - 3) Demarque, P., Sarajedini, A., & Guo ,X.-J., 1994, AJ,426,165-169
  - 4) Girardi, L., Greber, E.K., Odenkirchen, M., & Chiosi, C. 2004, apj, 700, 1816
    - 5) Leonard, P. J. T., 1988, AJ, 95, 1
  - 6) Prada Moroni, P. G., Castellani, V., Degl'Innocenti, S., Marconi, M., 2001, Mem. S.Alt.,72,4